

空气与气体动力学

张科

回顾：

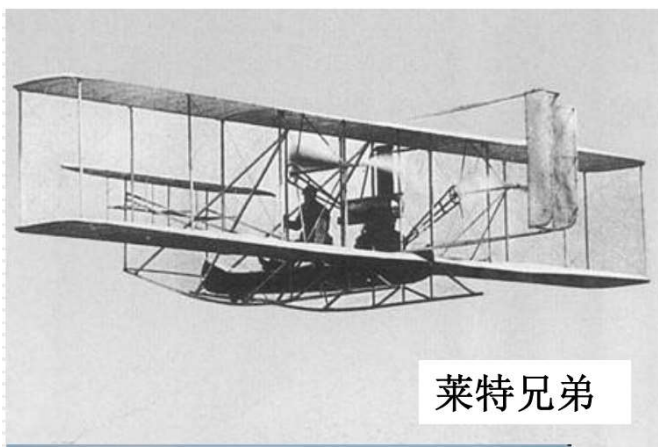
1.面元法；

2.翼型阻力；

3.失速：后缘失速，前缘短气泡，前缘长气泡；

4.改善失速方法：前缘缝翼，后缘襟翼。

十. 绕有限翼展机翼不可压流动 (空5)



莱特兄弟



P-51



F-86



苏-27

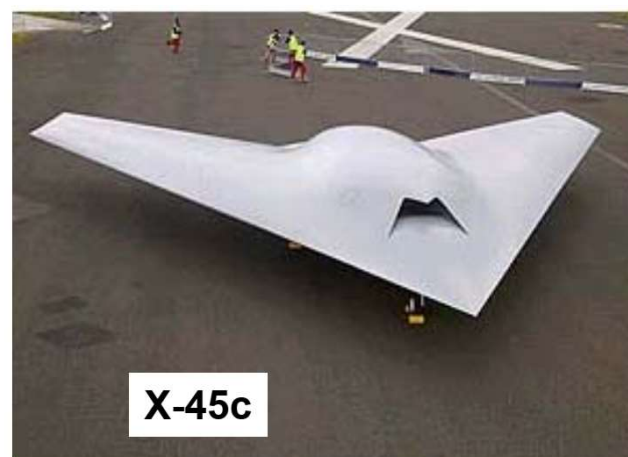
机翼形状特点、
原因？

十. 绕有限翼展机翼不可压流动(空5)



机翼形状特点、
原因？

十. 绕有限翼展机翼不可压流动 (空5)



十. 绕有限翼展机翼不可压流动 (空5)

10.1 机翼几何、气动参数

10.2 下洗和诱导阻力

10.3 涡丝

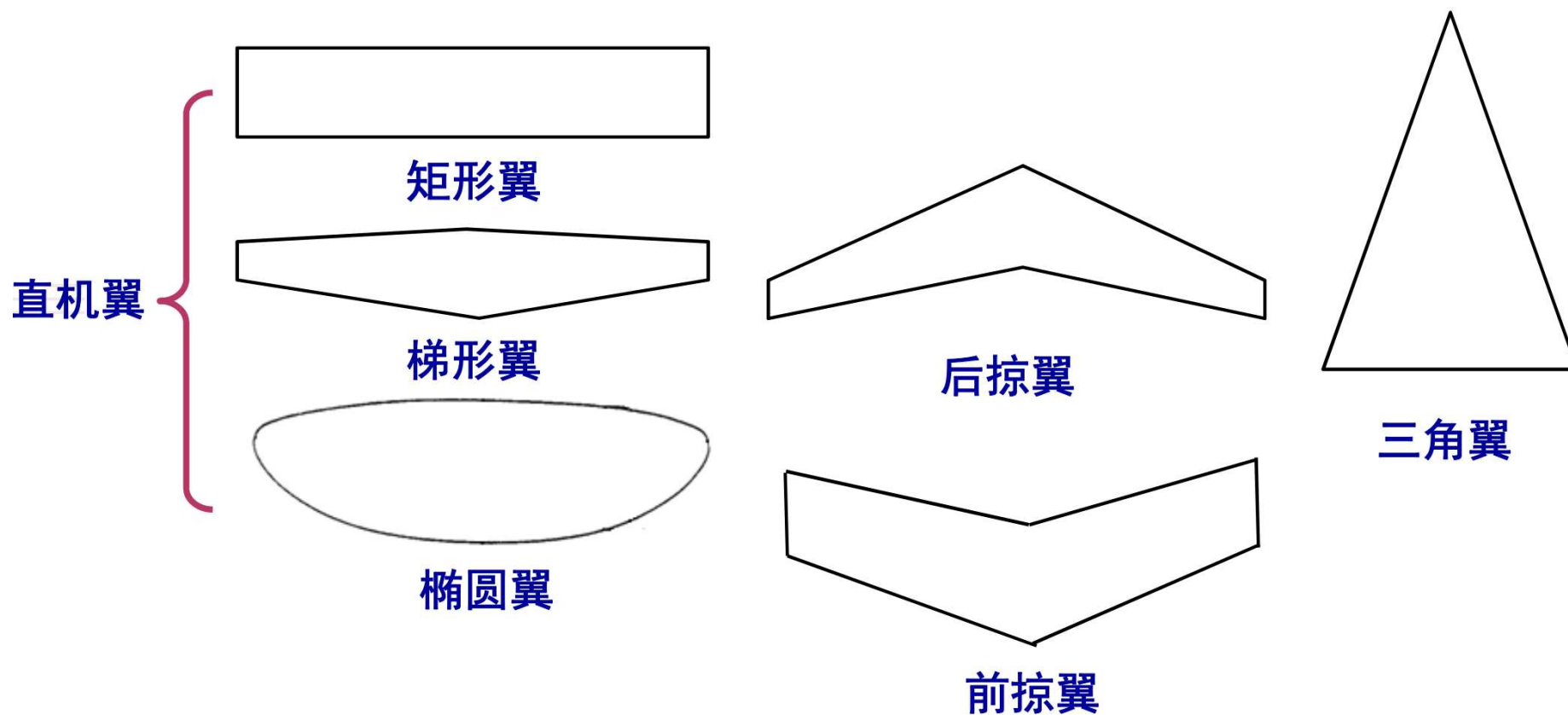
10.4 普朗特经典升力线理论

10.5 升力面理论、涡格法

机翼形状特点,
机翼气动特点,
绕机翼不可压势流。

10.1 机翼几何、气动参数

1. 机翼几何形状：



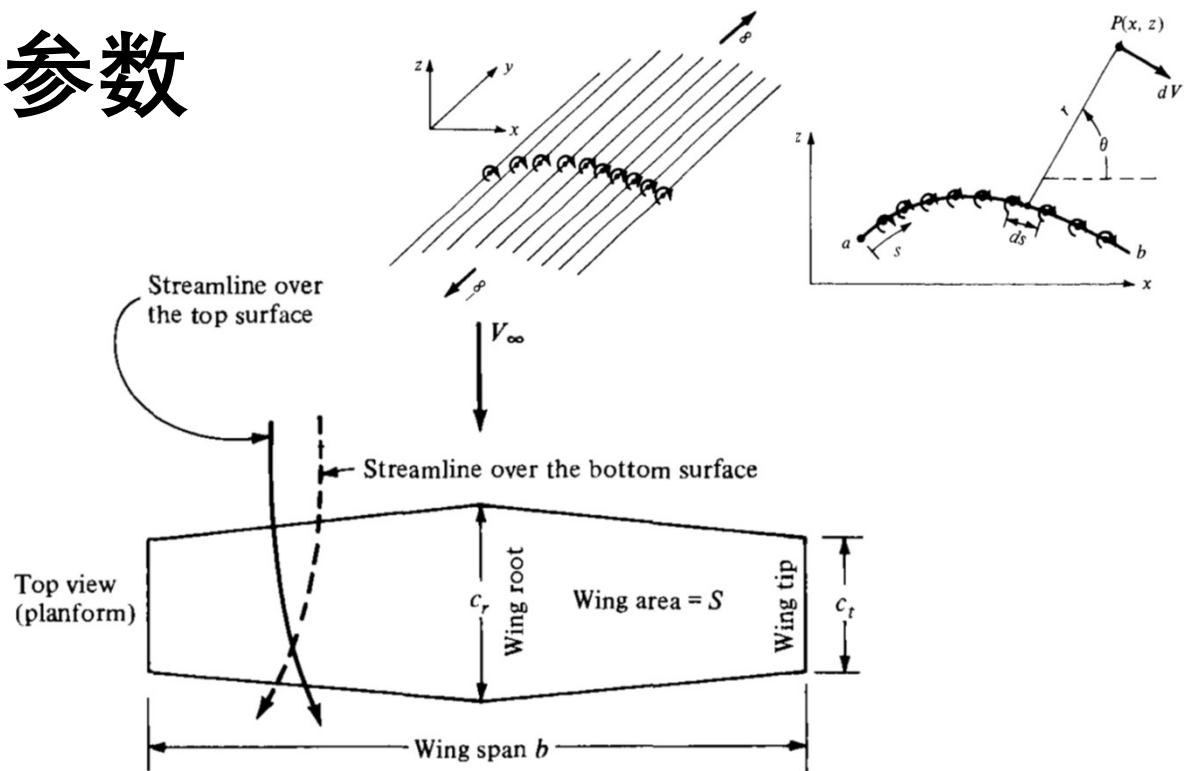
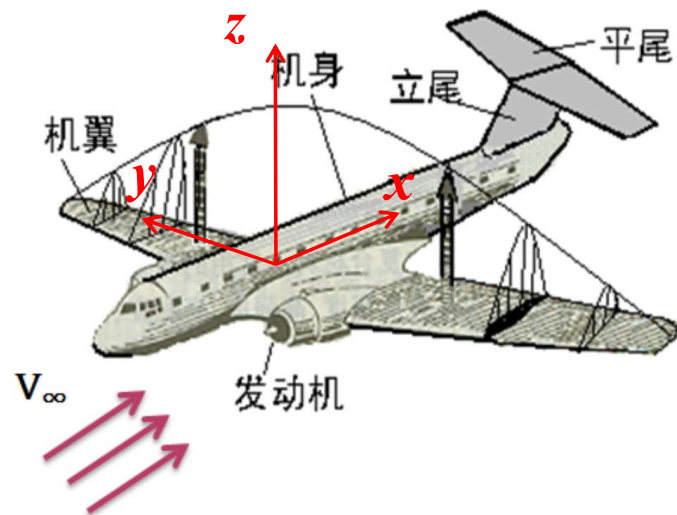
10.1 机翼几何、气动参数

1. 机翼几何形状：



10.1 机翼几何、气动参数

2. 机翼几何参数：



翼弦： c ，翼剖面沿机身方向弦长

翼展： b ，左右翼尖间长度

机翼面积： S ，机翼在 xoy 投影面积

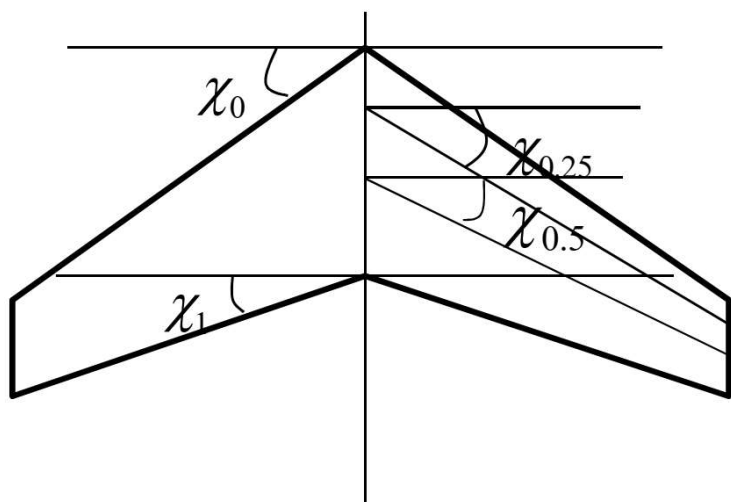
平均弦长： $c_{av} = \frac{S}{b}$

展弦比： $AR = \frac{b}{c_{av}} = \frac{b^2}{S}$

根梢比： $\eta = \frac{c_r}{c_t}$

10.1 机翼几何、气动参数

2. 机翼几何参数：



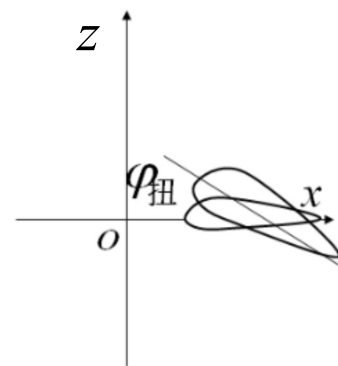
后掠角： χ ，机翼与y轴夹角

前缘 χ_0 、后缘 χ_1 、 $\frac{1}{4}c$ 处 $\chi_{0.25}$ 、 $\frac{1}{2}c$ 处 $\chi_{0.5}$



上/下反角：机翼与水平面夹角

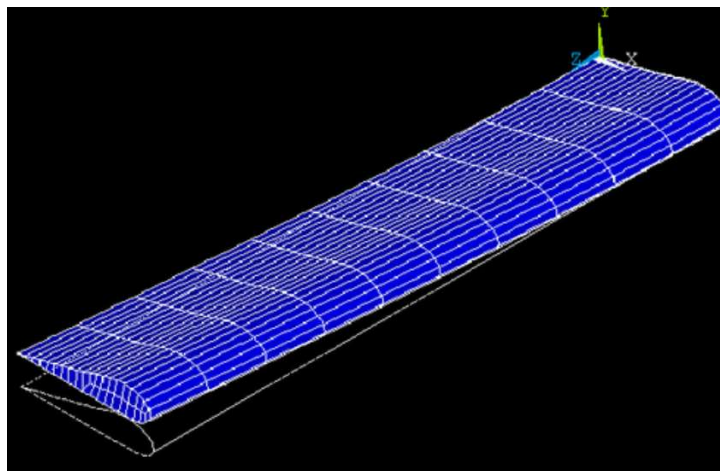
几何扭转角 $\varphi_{\text{扭}}$ ：剖面弦线相对翼根处弦线夹角



10.1 机翼几何、气动参数

2. 机翼几何参数：

几何扭转角 $\varphi_{\text{扭}}$ ：剖面弦线相对翼根处弦线夹角



气动扭转：不同 y 处翼型不同

10.1 机翼几何、气动参数

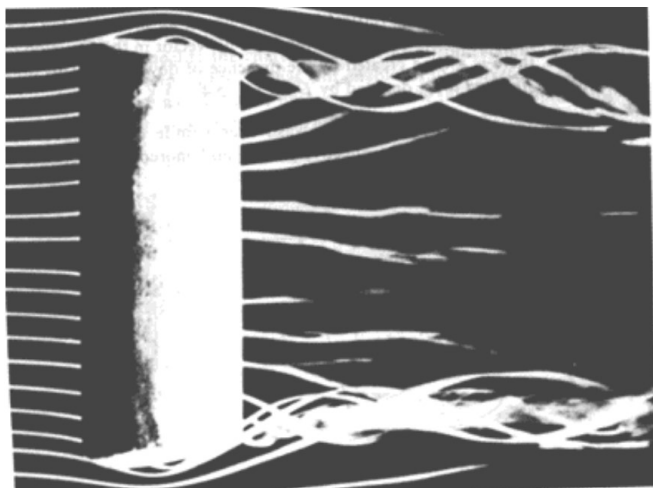
3. 机翼气动参数：

二维翼型： L', D', M' C_l, C_d, C_d $C_l = \frac{L'}{\frac{1}{2}\rho V_\infty^2 c}$

三维翼型： L, D, M C_L, C_D, C_M $C_L = \frac{L}{\frac{1}{2}\rho V_\infty^2 S}$

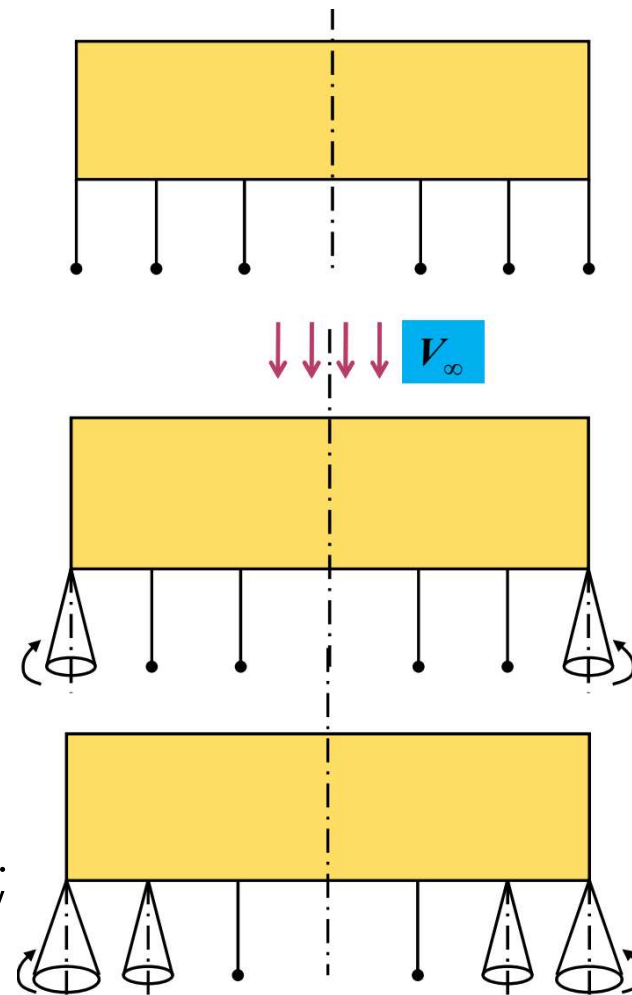
10.2 下洗和诱导阻力(5.2)

1. 翼尖涡：



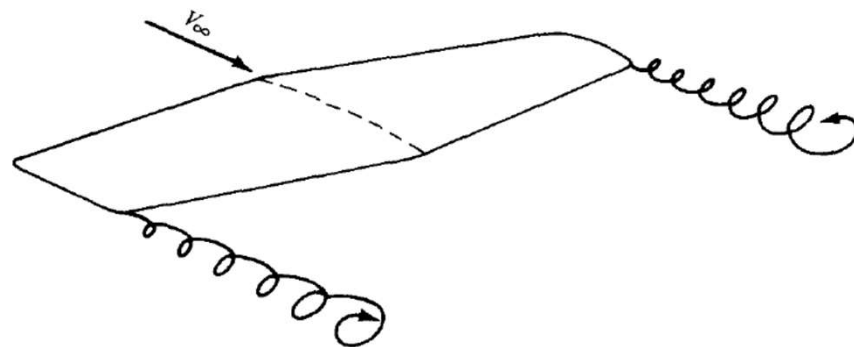
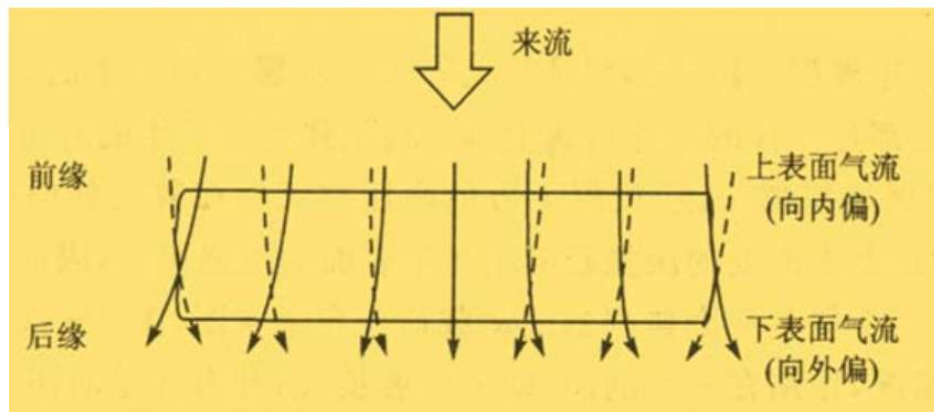
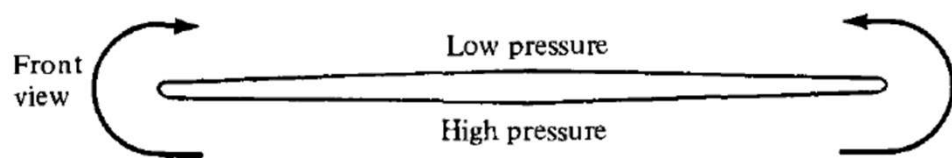
绕机翼流动是三维的，后缘存在涡系(尾涡系)；
翼尖处强，翼根处弱。

原因？



10.2 下洗和诱导阻力(5.2)

1. 翼尖涡：



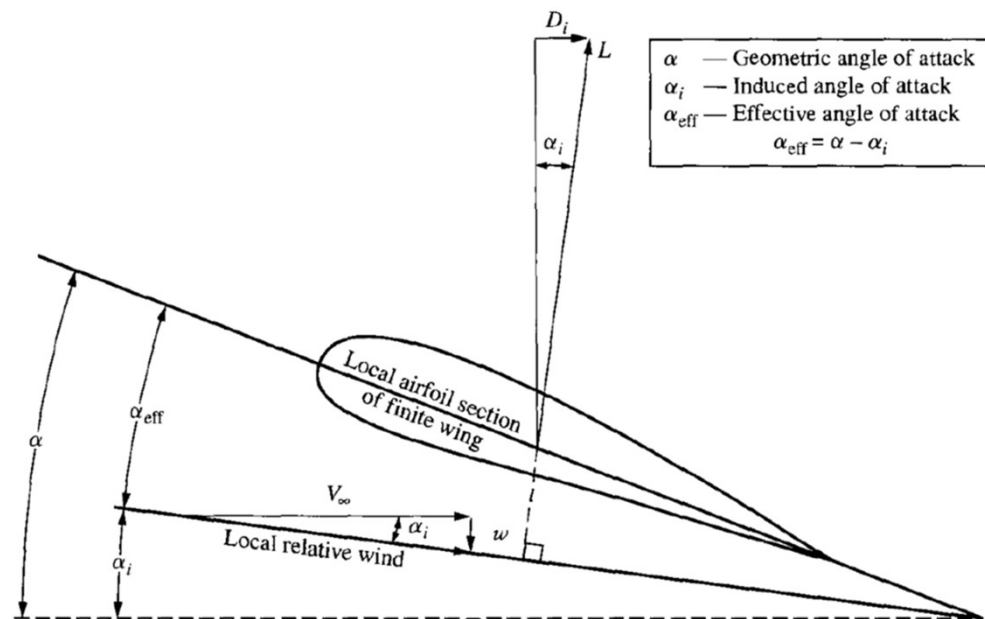
机翼下表面气流向外偏，上表面气流向内偏；
翼间处形成一定强度的翼尖涡。



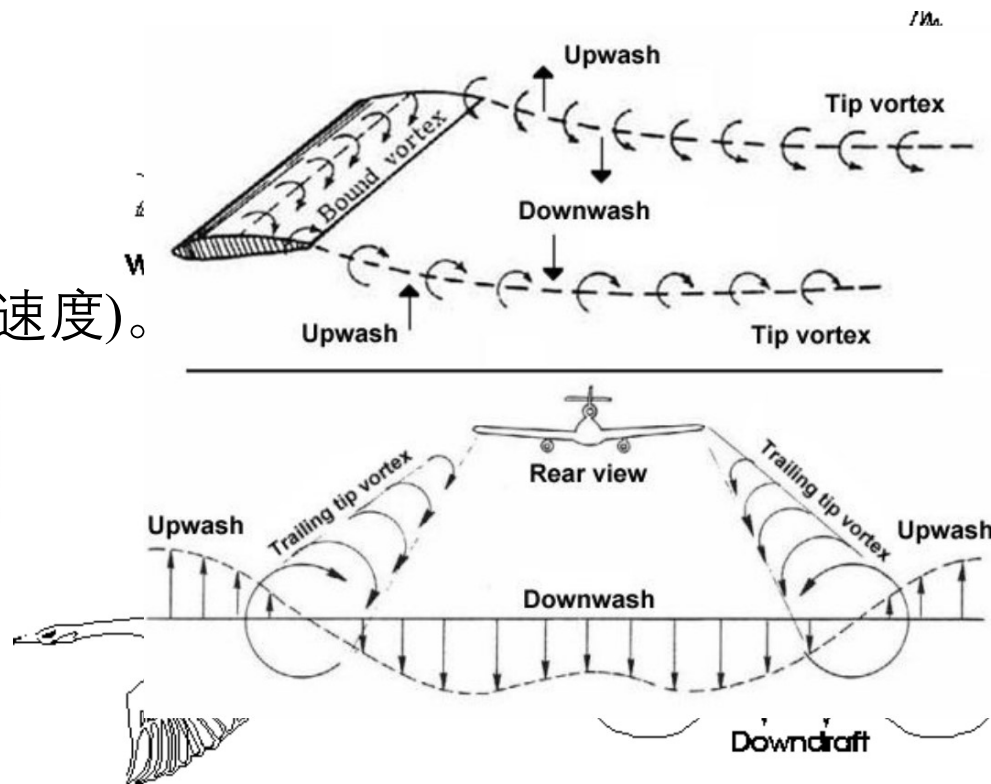
10.2 下洗和诱导阻力(5.2)

2. 下洗：

翼尖涡在机翼产生向下的速度分量 w (下洗速度)。

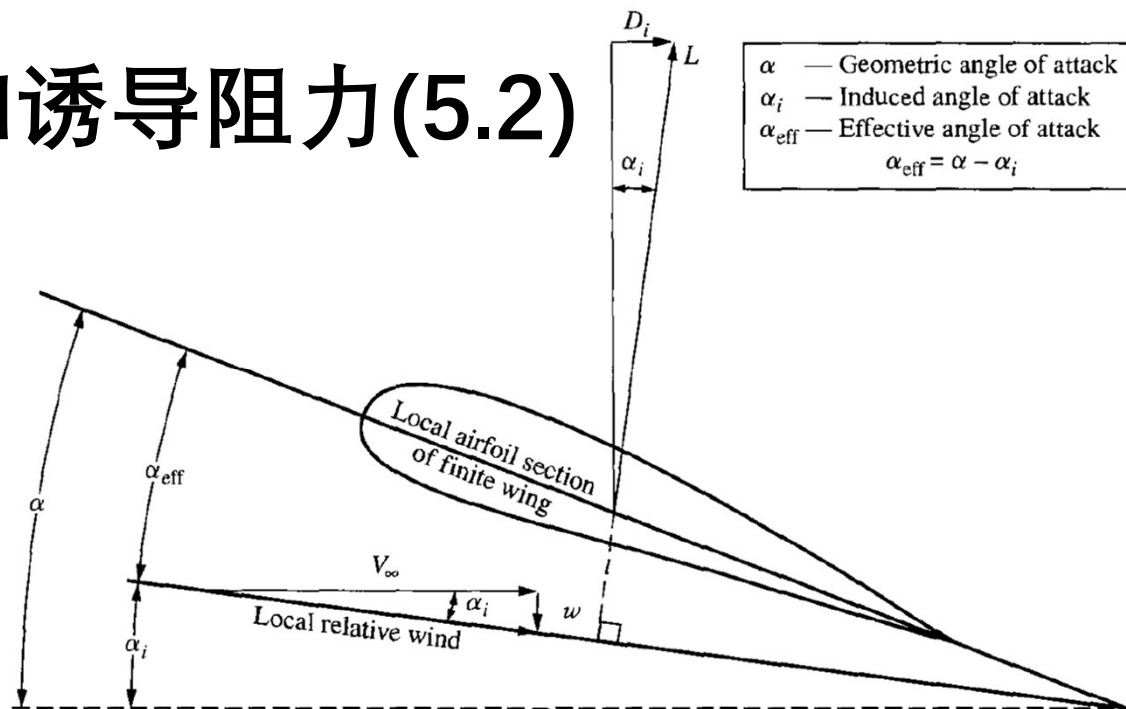


当地来流速度下偏, $\vec{V}_\infty + \vec{w}$!



10.2 下洗和诱导阻力(5.2)

3. 诱导阻力：



当地来流速度下偏， $\vec{V}_\infty + \vec{w}$ ；

下偏角度 α_i ：下洗角（诱导下洗角）；

α ：几何迎角；

$\alpha_{eff} = \alpha - \alpha_i$ ：有效迎角；

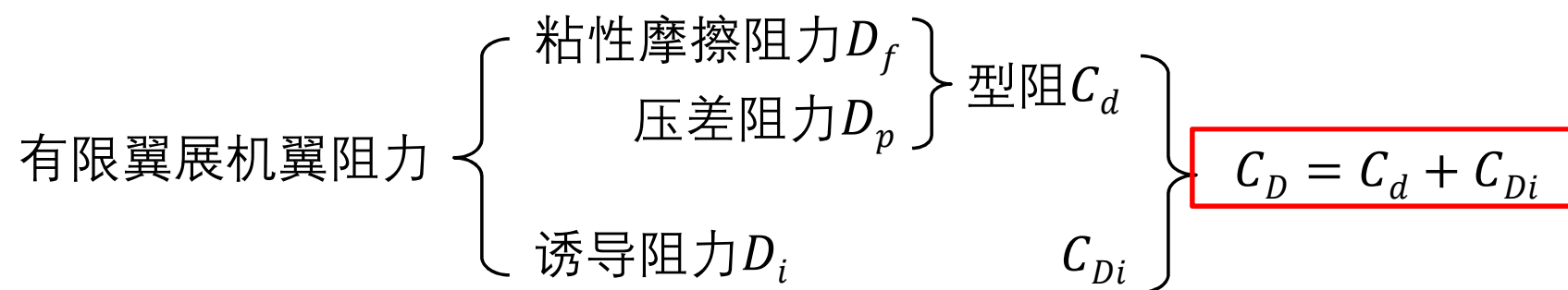
升力 L 与来流方向垂直，偏转 $\alpha_i \rightarrow$
产生水平方向分量 D_i ：诱导阻力；

无粘不可压流在有限翼展机翼上产生的

诱导阻力——上下面压差在 \vec{V}_∞ 方向的分量
(翼间涡耗能所需额外动力)

10.2 下洗和诱导阻力(5.2)

3. 诱导阻力：



10.3 涡丝(线涡5.3)

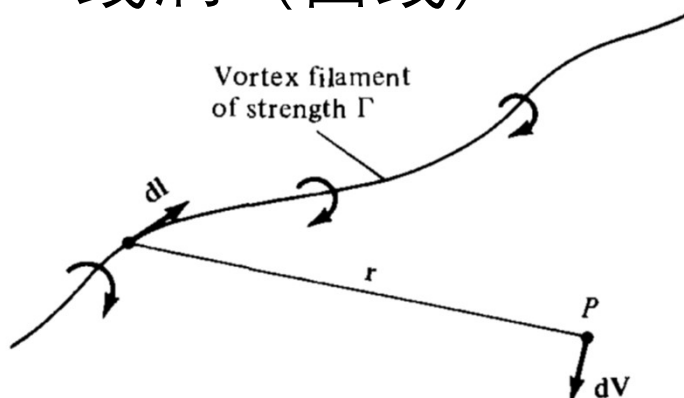
1. 线涡 (曲线) :

$d\vec{l}$ 在P处诱导速度:

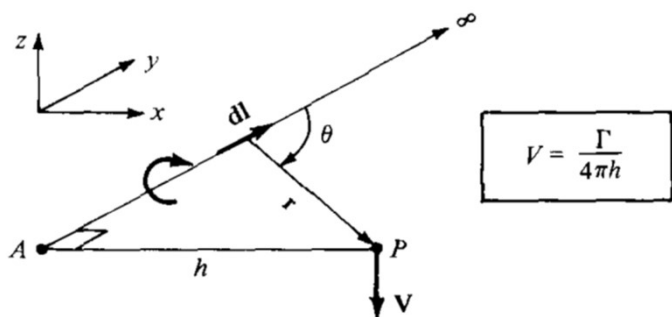
$$d\vec{V} = \frac{\Gamma}{4\pi} \frac{d\vec{l} \times \vec{r}}{|\vec{r}|^3}$$

Biot – Savart Law

类比电流产生的磁场强度 $d\vec{B} = \frac{\mu I}{4\pi} \frac{d\vec{l} \times \vec{r}}{|\vec{r}|^3}$

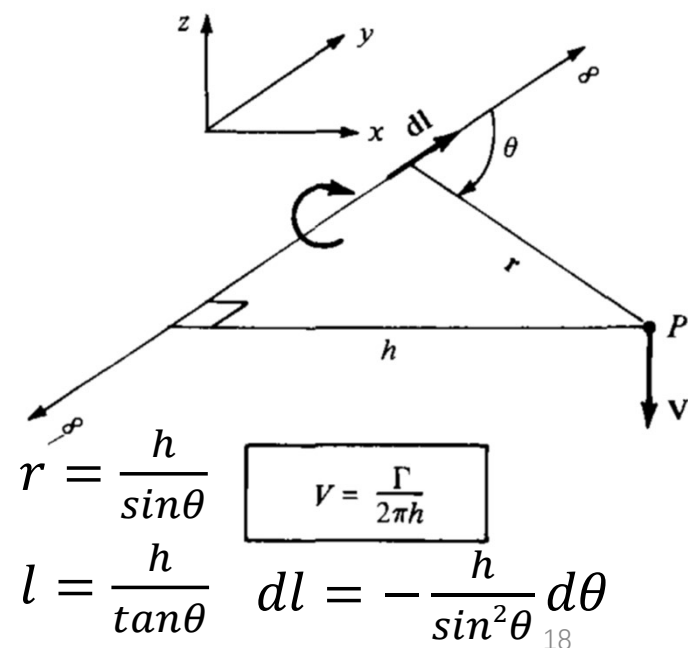


直线:
$$\begin{aligned} \vec{V} &= \int_{-\infty}^{+\infty} \frac{\Gamma}{4\pi} \frac{d\vec{l} \times \vec{r}}{|\vec{r}|^3} \\ &= \frac{\Gamma}{4\pi} \int_{-\infty}^{+\infty} \frac{dl \cdot r \sin\theta}{r^3} \\ &= \frac{\Gamma}{4\pi} \int_{-\infty}^{+\infty} \frac{dl \cdot \sin\theta}{r^2} \\ &= -\frac{\Gamma}{4\pi h} \int_0^\pi \sin\theta d\theta \end{aligned}$$



无限长线涡在P处诱导速度: $V = \frac{\Gamma}{2\pi h}$

半无限长线涡在P处诱导速度: $V = \frac{\Gamma}{4\pi h}$



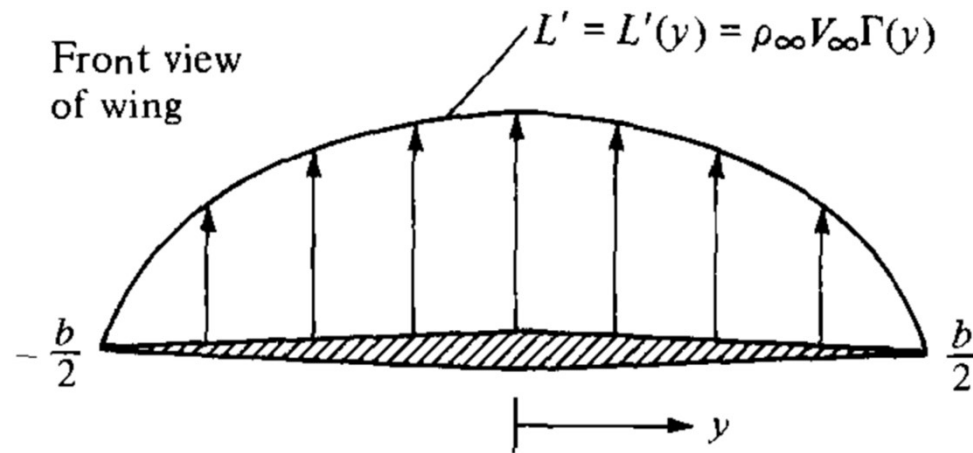
10.3 涡丝(线涡5.3)

2. Helmholtz定理：

- ① 线涡强度沿 l 方向不变；
- ② 线涡不能在流体中终结，必须到边界或组成封闭回路。

3. 升力分布(翼载分布)：

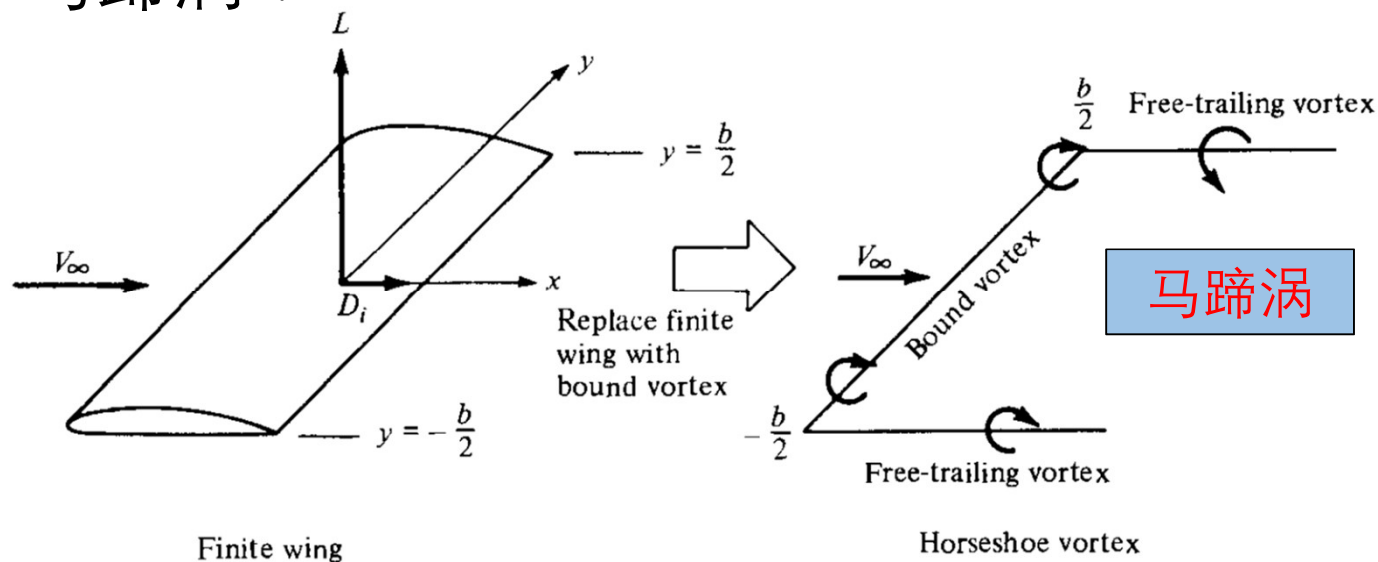
不同 y 处，翼型($\alpha_L = 0$)、弦长 c 、迎角 α 不同 $\rightarrow L'(y)$ 变化 $\rightarrow \Gamma(y)$ 变化



如何得到 $\Gamma(y)$ ？

10.4 普朗特经典升力线理论 1911~1918(5.4)

1. 马蹄涡：



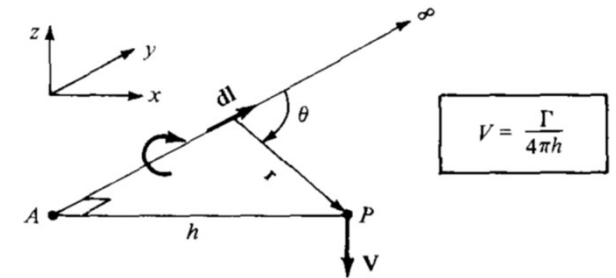
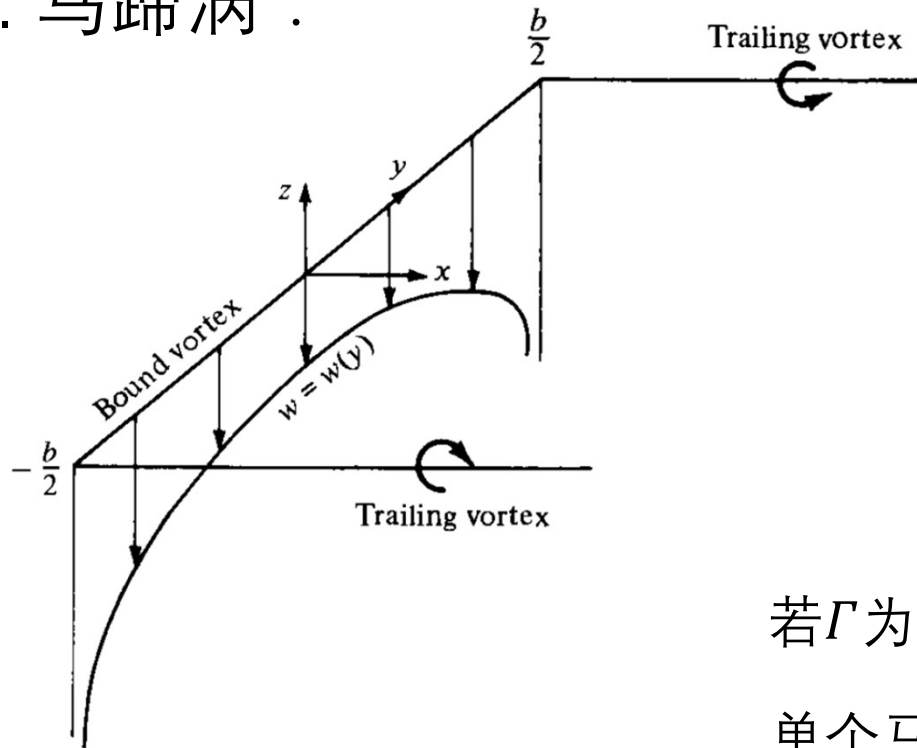
附着涡 $\rightarrow L'$
下游自由涡

机翼用长 $-b/2$ 到 $b/2$ 附着线涡代替；

线涡不能在流体中终结 \rightarrow 翼尖处线涡变尾涡(自由涡)

10.4 普朗特经典升力线理论 (5.4)

1. 马蹄涡：



y 轴上任意 y 处的下洗速度：

$$w = -\frac{\Gamma}{4\pi(\frac{b}{2}+y)} - \frac{\Gamma}{4\pi(\frac{b}{2}-y)}$$

$$= -\frac{\Gamma}{4\pi} \frac{b}{(\frac{b^2}{4}-y^2)}$$

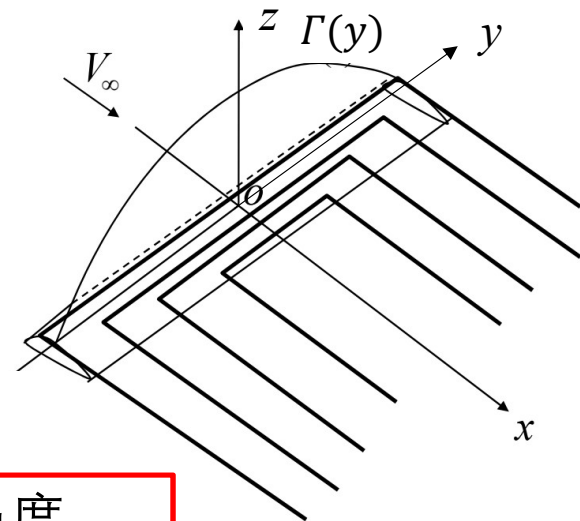
若 Γ 为常数，则 $y \rightarrow \pm \frac{b}{2}, w \rightarrow \infty$

单个马蹄涡不能模拟有限展长机翼！

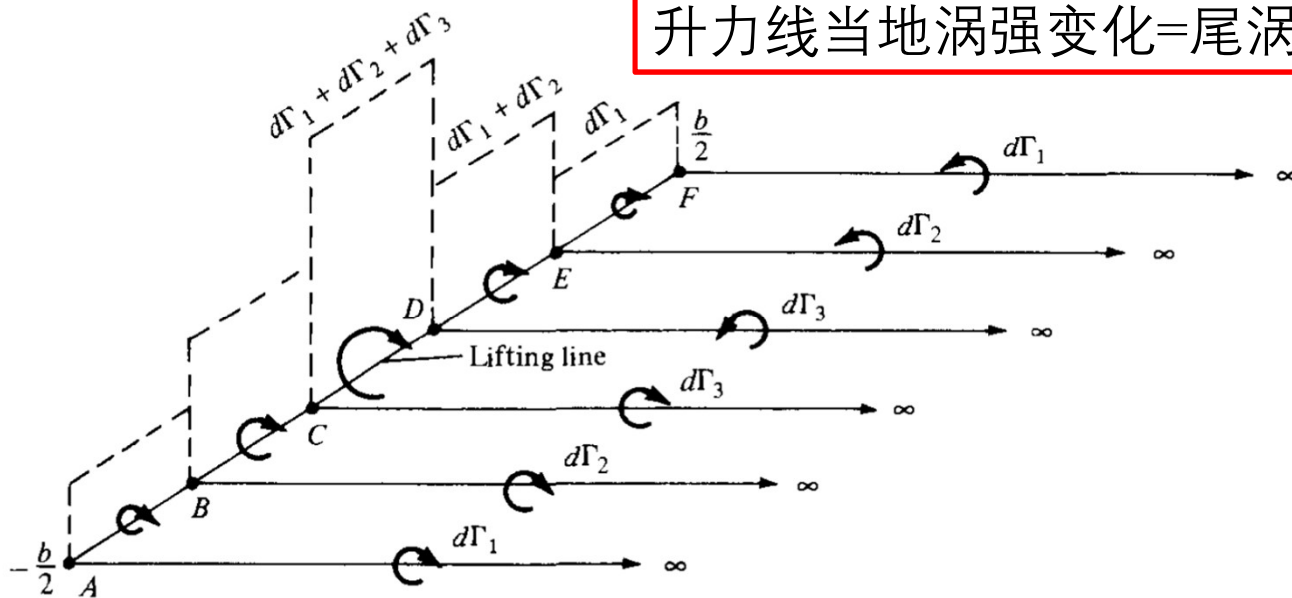
10.4 普朗特经典升力线理论 (5.4)

2. 多个马蹄涡叠加：

附着涡长度、 Γ 不等的多个马蹄涡叠加，
附着涡置于同一直线上——升力线！



升力线当地涡强变化=尾涡强度



10.4普朗特经典升力线理论 (5.4)

$$V = \frac{\Gamma}{4\pi h}$$

2. 多个马蹄涡叠加：

无数多个马蹄涡叠加：

升力线上 $\Gamma(y)$ ，微元 dy 上 Γ 变化 $d\Gamma$ ：

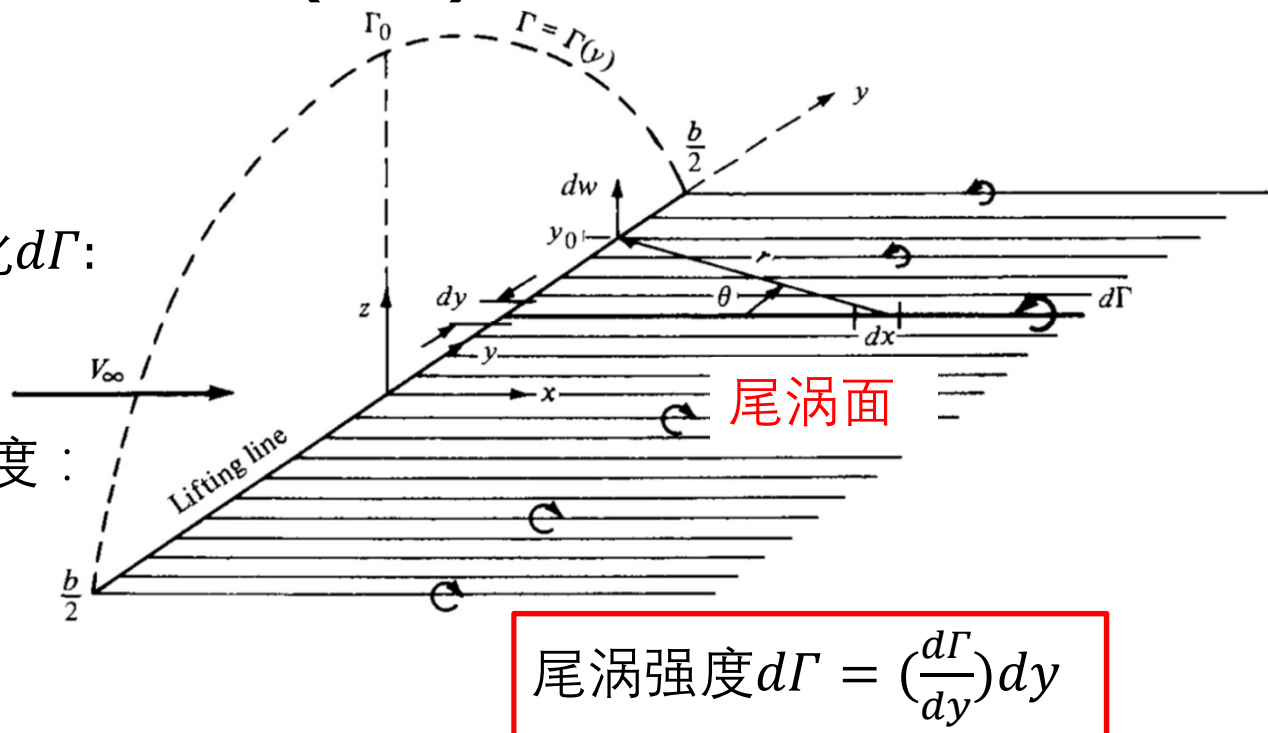
$$d\Gamma = \left(\frac{d\Gamma}{dy}\right)dy$$

半无限长尾涡 $d\Gamma$ 在 y_0 处诱导速度：

$$dw(y_0) = \frac{-\left(\frac{d\Gamma}{dy}\right)dy}{4\pi(y_0-y)}$$

尾涡面在 y_0 处诱导速度：

$$w(y_0) = -\frac{1}{4\pi} \int_{-\frac{b}{2}}^{\frac{b}{2}} \frac{\left(\frac{d\Gamma}{dy}\right)dy}{(y_0-y)}$$



10.4 普朗特经典升力线理论 (5.4)

3. y_0 处下洗角 $\alpha_i(y_0)$ ：

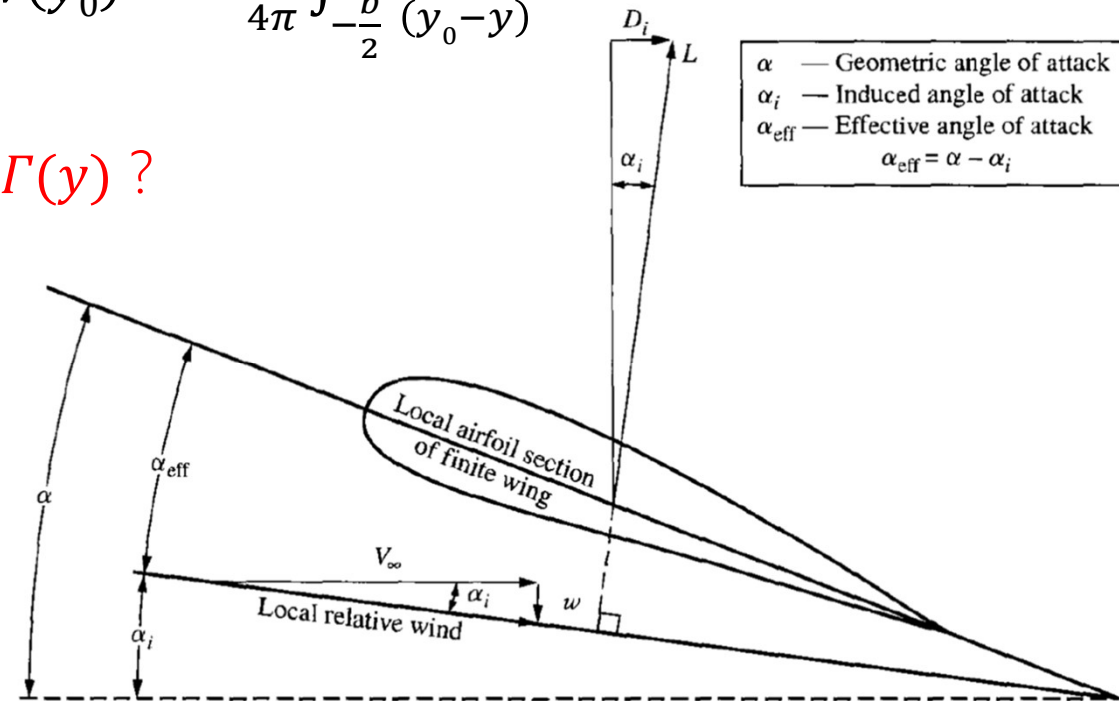
$$\alpha_i(y_0) = \arctan\left(\frac{-w(y_0)}{V_\infty}\right) \approx \frac{-w(y_0)}{V_\infty} \quad w(y_0) = -\frac{1}{4\pi} \int_{-\frac{b}{2}}^{\frac{b}{2}} \frac{\left(\frac{d\Gamma}{dy}\right)dy}{(y_0-y)}$$

$$\alpha_i(y_0) = \frac{1}{4\pi V_\infty} \int_{-\frac{b}{2}}^{\frac{b}{2}} \frac{\left(\frac{d\Gamma}{dy}\right)dy}{(y_0-y)}$$

如何得到 $\Gamma(y)$ ？

$$\Gamma(y) \rightarrow C_l$$

$$\Gamma(y) \rightarrow \alpha_i(y) \rightarrow \alpha_{eff} \rightarrow C_l$$



10.4 普朗特经典升力线理论 (5.4)

3. y_0 处下洗角 $\alpha_i(y_0)$ ： 如何得到 $\Gamma(y)$ ？

$$\Gamma(y) \rightarrow C_l$$

$$\Gamma(y) \rightarrow \alpha_i(y) \rightarrow \alpha_{eff} \rightarrow C_l$$

$$y_0 \text{处翼剖面} : \alpha_{eff}(y_0) = \alpha(y_0) - \alpha_i(y_0)$$

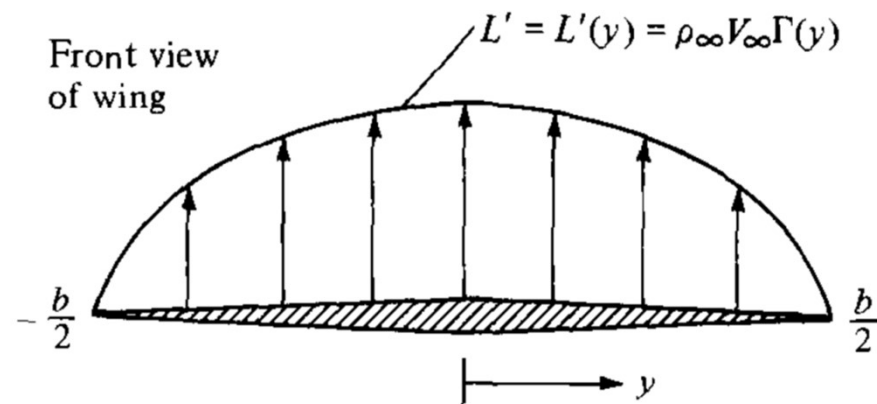
$$y_0 \text{处翼剖面} : C_l(y_0) = a_0(\alpha_{eff} - \alpha_{L=0})$$

$$\text{薄翼理论} : C_l(y_0) = 2\pi(\alpha(y_0) - \alpha_i(y_0) - \alpha_{L=0})$$

$$\text{其中 } \alpha(y_0)、\alpha_{L=0} \text{ 已知, } \alpha_i(y_0) \sim \Gamma(y)$$

$$\text{升力定理} : L'(y_0) = \rho V_\infty \Gamma(y_0) = \frac{1}{2} \rho V_\infty^2 c(y_0) C_l(y_0) \quad (2)$$

$$(1) + (2) \rightarrow \frac{2\Gamma}{V_\infty c} = C_l = 2\pi(\alpha - \alpha_i - \alpha_{L=0})$$



$$\text{翼剖面 } C_l = a_0(\alpha - \alpha_{L=0})$$

①

$$\alpha_i(y_0) = \frac{1}{4\pi V_\infty} \int_{-\frac{b}{2}}^{\frac{b}{2}} \frac{\left(\frac{d\Gamma}{dy}\right) dy}{(y_0 - y)}$$

10.4 普朗特经典升力线理论 (5.4)

3. y_0 处下洗角 $\alpha_i(y_0)$ ：

$$\frac{2\Gamma}{V_\infty c} = C_l = 2\pi(\alpha - \alpha_i - \alpha_L = 0) \quad \alpha_i(y_0) = \frac{1}{4\pi V_\infty} \int_{-\frac{b}{2}}^{\frac{b}{2}} \frac{\left(\frac{d\Gamma}{dy}\right)dy}{(y_0 - y)}$$



$$\alpha(y_0) = \frac{\Gamma(y_0)}{\pi V_\infty c(y_0)} + \alpha_L = 0 + \frac{1}{4\pi V_\infty} \int_{-\frac{b}{2}}^{\frac{b}{2}} \frac{\left(\frac{d\Gamma}{dy}\right)dy}{(y_0 - y)}$$

普朗特升力线理论
基本方程

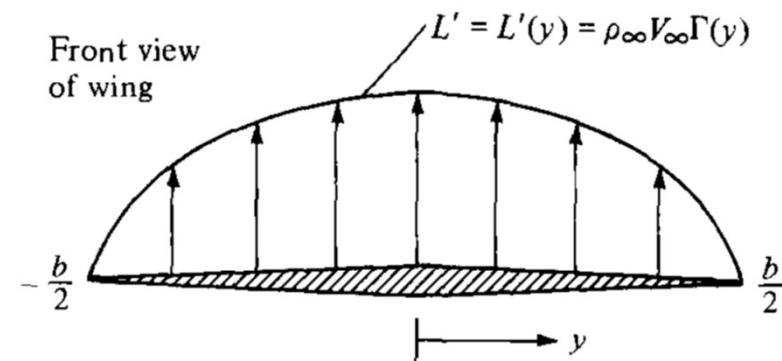


求得 $\Gamma(y)$

$$L'(y_0) = \rho V_\infty \Gamma(y_0)$$

$$L = \int_{-b/2}^{b/2} L'(y_0) dy = \rho V_\infty \int_{-b/2}^{b/2} \Gamma(y_0) dy$$

$$C_L = \frac{L}{\frac{1}{2}\rho V_\infty^2 S} = \frac{2}{V_\infty S} \int_{-b/2}^{b/2} \Gamma(y_0) dy$$



10.4普朗特经典升力线理论 (5.4)

3. y_0 处下洗角 $\alpha_i(y_0)$ ：

$$\alpha(y_0) = \frac{\Gamma(y_0)}{\pi V_\infty c(y_0)} + \alpha_L = 0 + \frac{1}{4\pi V_\infty} \int_{-b/2}^{b/2} \frac{\left(\frac{d\Gamma}{dy}\right)dy}{(y_0 - y)}$$

普朗特升力线理论
基本方程

诱导阻力： $D'_i = L' \sin \alpha_i \approx L' \alpha_i$

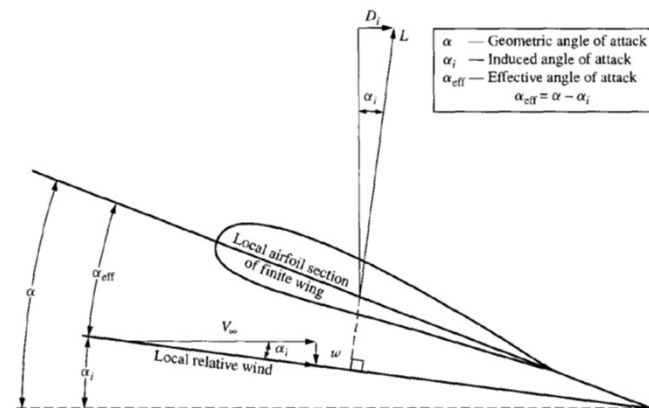
$$L'(y_0) = \rho V_\infty \Gamma(y_0)$$

$$D_i = \int_{-b/2}^{b/2} L' \alpha_i dy = \rho V_\infty \int_{-b/2}^{b/2} \Gamma(y) \alpha_i(y) dy$$

$$C_{D,i} = \frac{2}{V_\infty S} \int_{-b/2}^{b/2} \Gamma(y) \alpha_i(y) dy$$

方程求解困难，研究简单已知解 $\Gamma(y)$ 。

掌握由已知 $\Gamma(y)$ ，求 α_i ， C_L ， $C_{D,i}$ 等气动特性。



10.4普朗特经典升力线理论 (5.4)

4. 椭圆升力分布：

$$\Gamma(y) = \Gamma_0 \sqrt{1 - \left(\frac{2y}{b}\right)^2}$$

环量沿展向呈椭圆变化。

$$\frac{d\Gamma}{dy} = -\frac{4\Gamma_0}{b^2} \frac{y}{\sqrt{1 - \left(\frac{2y}{b}\right)^2}}$$

$$w(y_0) = -\frac{1}{4\pi} \int_{-\frac{b}{2}}^{\frac{b}{2}} \frac{\left(\frac{d\Gamma}{dy}\right)dy}{(y_0 - y)} = \frac{\Gamma_0}{\pi b^2} \int_{-\frac{b}{2}}^{\frac{b}{2}} \frac{y dy}{\sqrt{1 - \left(\frac{2y}{b}\right)^2} (y_0 - y)} \quad \text{定义 } y = \frac{b}{2} \cos\theta \quad dy = -\frac{b}{2} \sin\theta d\theta$$

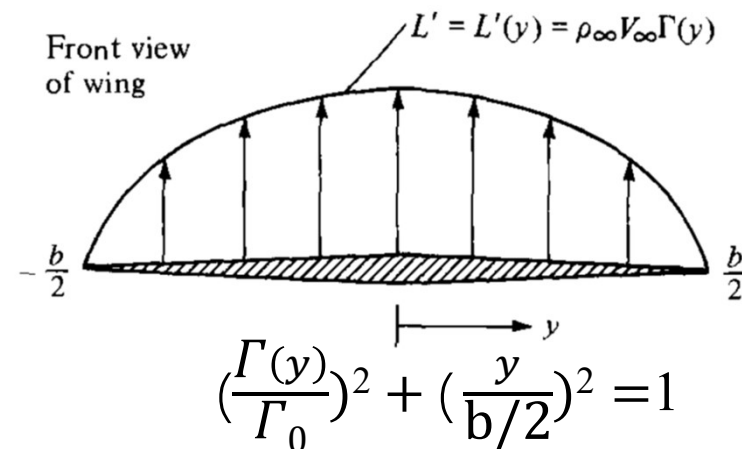
$$w(\theta_0) = -\frac{\Gamma_0}{2\pi b} \int_0^\pi \frac{\cos\theta}{\cos\theta - \cos\theta_0} d\theta \quad \int_0^\pi \frac{\cos n\theta}{\cos\theta - \cos\theta_0} d\theta = \frac{\pi \sin n\theta_0}{\sin\theta_0}$$

$$w(\theta_0) = -\frac{\Gamma_0}{2b}$$

椭圆环量分布，下洗速度沿展向为常数！

$$\alpha_i = -\frac{w}{V_\infty} = \frac{\Gamma_0}{2bV_\infty}$$

$b \rightarrow \infty$ 时 $\alpha_i \quad w \rightarrow 0$



10.4普朗特经典升力线理论 (5.4)

4. 椭圆升力分布：

$$\Gamma(y) = \Gamma_0 \sqrt{1 - \left(\frac{2y}{b}\right)^2} \quad \text{环量沿展向呈椭圆变化。}$$

$$w(\theta_0) = -\frac{\Gamma_0}{2b} \quad \alpha_i = -\frac{w}{V_\infty} = \frac{\Gamma_0}{2bV_\infty}$$

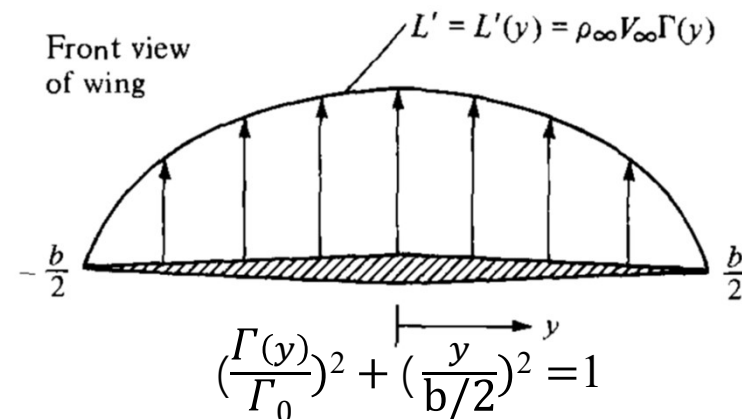
$$\begin{aligned} L &= \rho V_\infty \int_{-b/2}^{b/2} \Gamma(y_0) dy = \rho V_\infty \Gamma_0 \int_{-b/2}^{b/2} \sqrt{1 - \left(\frac{2y}{b}\right)^2} dy \\ &= \rho V_\infty \Gamma_0 \frac{b}{2} \int_0^\pi \sin^2 \theta d\theta \\ &= \rho V_\infty \Gamma_0 \frac{b}{4} \pi \end{aligned}$$

$$C_L = \frac{L}{\frac{1}{2} \rho V_\infty^2 S} = \frac{\rho V_\infty \Gamma_0 \frac{b}{4} \pi}{\frac{1}{2} \rho V_\infty^2 S} = \frac{\Gamma_0 b \pi}{2 V_\infty S} \quad \rightarrow \quad \Gamma_0 = \frac{2 V_\infty S C_L}{b \pi}$$

$$\alpha_i = -\frac{w}{V_\infty} = \frac{\Gamma_0}{2bV_\infty} = \frac{S C_L}{b^2 \pi} = \frac{C_L}{\pi AR}$$

$$\alpha_i = \frac{C_L}{\pi AR}$$

$$\text{展弦比：} AR = \frac{b^2}{S}$$



10.4普朗特经典升力线理论 (5.4)

4. 椭圆升力分布：

$$\Gamma(y) = \Gamma_0 \sqrt{1 - \left(\frac{2y}{b}\right)^2}$$

环量沿展向呈椭圆变化。

$$w(\theta_0) = -\frac{\Gamma_0}{2b}$$

$$\alpha_i = -\frac{w}{V_\infty} = \frac{\Gamma_0}{2bV_\infty}$$

$$\alpha_i = \frac{C_L}{\pi AR}$$

$$C_{D,i} = \frac{2}{V_\infty S} \int_{-b/2}^{b/2} \Gamma(y) \alpha_i(y) dy$$

$$= \frac{2\alpha_i}{V_\infty S} \int_{-b/2}^{b/2} \Gamma(y) dy$$

$$= \frac{\pi b \alpha_i \Gamma_0}{2V_\infty S} = \frac{\pi b \alpha_i \Gamma_0}{2V_\infty S}$$

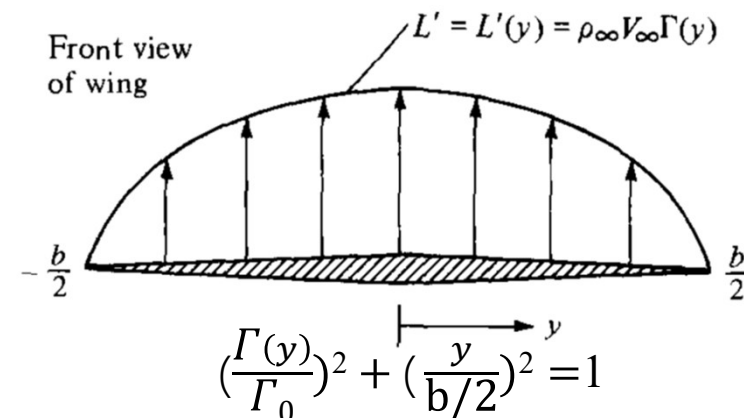
$$= C_L \alpha_i$$

$$\int_{-b/2}^{b/2} \Gamma(y) dy = \Gamma_0 \frac{b}{4} \pi$$

$$C_L = \frac{\Gamma_0 b \pi}{2V_\infty S}$$

$$\Rightarrow C_{D,i} = \frac{C_L^2}{\pi AR} \begin{cases} \text{① } C_{D,i} \propto C_L^2 \text{ 升致阻力} \\ \text{② } C_{D,i} \propto \frac{1}{\pi AR}, \quad AR \uparrow C_{D,i} \downarrow \end{cases}$$

$AR=6\sim8$
1908年white $AR=6$
滑翔机达51



10.4普朗特经典升力线理论 (5.4)

4. 椭圆升力分布：

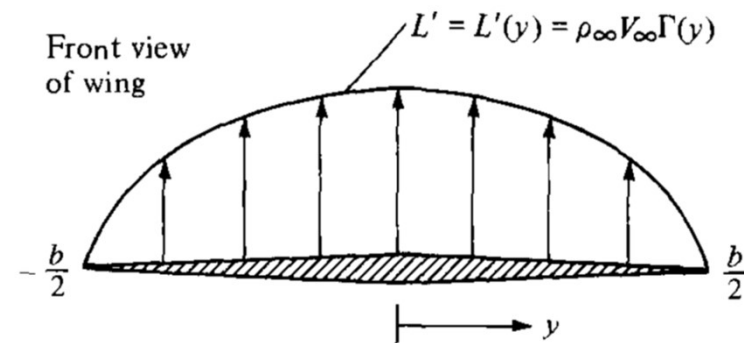
$$\Gamma(y) = \Gamma_0 \sqrt{1 - \left(\frac{2y}{b}\right)^2} \quad \text{环量沿展向呈椭圆变化。}$$

$$w(\theta_0) = -\frac{\Gamma_0}{2b} \quad \alpha_i = -\frac{w}{V_\infty} = \frac{\Gamma_0}{2bV_\infty} \quad \alpha_i = \frac{C_L}{\pi AR}$$

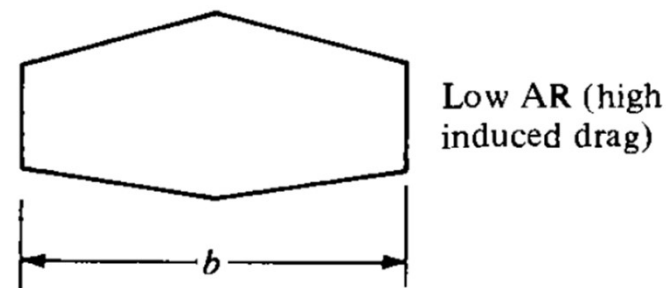
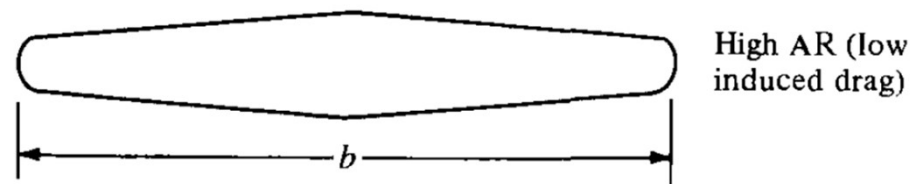
$$C_{D,i} = \frac{C_L^2}{\pi AR} \begin{cases} \text{① } C_{D,i} \propto C_L^2 \text{ 升致阻力} \\ \text{② } C_{D,i} \propto \frac{1}{\pi AR}, \quad AR \uparrow C_{D,i} \downarrow \end{cases}$$

$$C_D = C_d + C_{D,i}$$

C_L 大时 $C_{D,i}$ 占 C_D 比大,
巡航时一般 $C_{D,i}$ 占 C_D 25%



$$AR = b^2/S$$



作业：

复习笔记！

空气动力学书5.1